

## Композиционные материалы на основе дисилицида молибдена с повышенной прочностью

В. Н. Падерно, В. Б. Филиппов, А. Б. Лященко, С. И. Люкшина

Показано, что направленной кристаллизацией псевдобинарных композиций дисилицида молибдена  $\text{MoSi}_2$  с некоторыми тугоплавкими соединениями, в частности с диборидами титана  $\text{TiB}_2$ , циркония  $\text{ZrB}_2$ , боридом молибдена  $\text{Mo}_2\text{B}_5$ , карбидами бора  $\text{B}_4\text{C}$  и кремния  $\text{SiC}$ , могут быть получены композиционные материалы с более высокими прочностными характеристиками, окалино- и термостойкостью, чем у индивидуального дисилицида молибдена.

**Ключевые слова:** композит,  $\text{MoSi}_2$ , прочность, окисление.

Отличительной особенностью дисилицида молибдена  $\text{MoSi}_2$  является его способность при температуре более 1500 °С образовывать на поверхности плотную стеклообразную пленку  $\text{SiO}_2$ , которая находится в равновесии с основным материалом и препятствует его окислению. Однако наличие в структуре спеченных нагревательных элементов из  $\text{MoSi}_2$  примеси оксида кремния приводит к повышенной хрупкости материала при комнатной температуре и потере прочности при рабочей [1]. Оба эти недостатка можно преодолеть путем создания композиционных материалов на основе дисилицида молибдена с более высокими физико-механическими характеристиками.

Одним из наиболее перспективных способов формирования композиционных материалов на основе тугоплавких соединений с термодинамически стабильной микроструктурой, обладающих существенно более высокими прочностными характеристиками по сравнению с индивидуальными фазами, является направленная кристаллизация эвтектических сплавов [2]. Этот процесс позволяет получать упрочняющую фазу в форме волокон или пластин, вытянутых в направлении теплоотвода и равномерно распределенных в матрице основной фазы. Чем ближе состав композита к эвтектическому, тем более однородную структуру можно сформировать, что, в свою очередь, приводит к повышению механических свойств материалов [3].

Псевдобинарные диаграммы состояния сплавов с дисилицидом молибдена и другими тугоплавкими соединениями до настоящего времени детально не изучены. Однако установлено, что некоторые из них, в частности с диборидами титана, циркония, молибдена, имеют эвтектический характер [4, 5], что позволило предположить возможность проведения процесса направленной кристаллизации и получения естественных композитов в таких сплавах.

Для оценки возможности формирования однородной структуры в системах, содержащих дисилицид молибдена, предварительно осуществляли закалку из жидкого состояния в холодный массивный медный тигель капель расплава смесей дисилицида молибдена и боридных, карбидных или силицидных фаз переходных и редкоземельных металлов ( $\text{ScB}_2$ ,  $\text{LaB}_6$ ,  $\text{Si}_3\text{N}_4$ ,  $\text{TaSi}_2$ ,  $\text{ZrB}_2$ ,  $\text{TiB}_2$ ,  $\text{SiC}$ ,  $\text{WC}$  [6],  $\text{Mo}_2\text{B}_5$  [7]). Использование

этого приема обеспечило первичную оценку возможной структуры, формирующейся при кристаллизации соответствующих композиций.

Исследование микроструктуры и некоторых свойств образцов перечисленных композиций, полученных направленной кристаллизацией, показало, что для создания ориентированной гетерогенной структуры и увеличения прочностных характеристик из всех исследованных упрочняющих компонентов наиболее перспективными являются дубориды переходных металлов. Подобный вывод сделан также в работе [8] при исследовании прочностных характеристик сплавов системы  $\text{MoSi}_2$ — $\text{TiB}_2$ . Немалый интерес представляют и композиты на основе дисилицида молибдена, упрочняющей фазой в которых могут служить карбиды, в частности карбиды кремния  $\text{SiC}$  или бора  $\text{B}_4\text{C}$ .

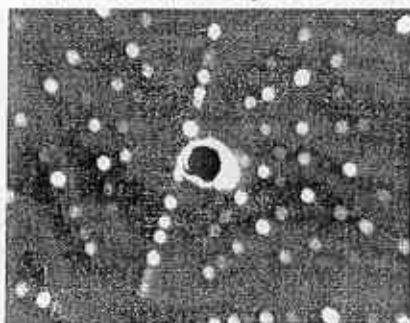
Настоящая работа посвящена дальнейшему изучению структуры и свойств, полученных направленной кристаллизацией композиционных материалов на основе дисилицида молибдена, упрочняющей фазой в которых служат тугоплавкие боридные или карбидные фазы с целью разработки и создания композиционных материалов с повышенной прочностью для эксплуатации в объектах новой техники.

Исследовали дисилицид молибдена и ряд композиционных материалов на его основе, полученных направленной кристаллизацией. В качестве упрочняющей фазы выбраны дубориды титана  $\text{TiB}_2$  и циркония  $\text{ZrB}_2$ , борид молибдена  $\text{Mo}_2\text{B}_5$ , карбиды бора  $\text{B}_4\text{C}$  и кремния  $\text{SiC}$ .

Направленную кристаллизацию спеченных стержней исследуемых материалов осуществляли на модернизированной установке Кристалл-111 методом вертикального бестигельного плавления с использованием индукционного нагрева. С целью предотвращения испарения кремния в процессе зонного плавления в камере поддерживалось избыточное давление аргона до 0,5 МПа. Скорость кристаллизации составляла 1—5 мм/мин.

Составы полученных образцов исследовали с использованием химического, рентгеновского и микрорентгеноспектрального анализов. Микроструктуру и характер поверхности разрушения изучали с помощью оптического и сканирующего электронных микроскопов и рентгеновского микроанализатора. Измеряли микротвердость составляющих фаз полученных образцов при различных нагрузках и с помощью метода индентирования алмазной пирамиды при нагрузке 10,3 Н по длине трещины оценивали трещиностойкость  $K_{Ic}$ . Методом зонной плавки из однофазной порошковой заготовки был выращен практически совершенный монокристалл  $\text{MoSi}_2$  (рис. 1).

С целью оценки прочностных характеристик нагревательных элементов



на основе дисилицида молибдена, как при комнатной, так и при рабочей температурах, исследовали материалы, содержащие в качестве упрочняющей фазы бориды переход-

Рис. 1. Лаузограмма монокристалла дисилицида молибдена  $\text{MoSi}_2$ , полученного направленной кристаллизацией.

ных металлов, в частности дибориды титана и циркония, поскольку именно эти диборидные фазы характеризуются повышенной стойкостью к окислению [9]. В то же время диборидные фазы способствуют формированию самоармированных материалов, которые можно отнести к так называемой вязкой керамике благодаря уникальному сочетанию в них прочности и пластичности [10].

Системы с диборидами титана и циркония получали и ранее [8, 11, 12]. Для этой цели использовалось спекание в условиях приложения давления (горячее прессование) [13], что не позволяет очистить материал от оксидов. Применение направленной кристаллизации способствует очистке материала от легкоплавких примесей и получению *in-situ* самоармированных материалов.

Изучен процесс получения и особенности структурообразования композита, содержащего 20% (об.) диборида титана. Такой материал характеризуется отсутствием пористости. Электронно-микроскопическое исследование структуры показало, что формируется материал, отдельные участки структуры которого состоят из кристаллов вытянутой формы с определенной направленностью (рис. 2, *a*). Структура поверхности разрушения носит смешанный характер: наряду с транскристаллитным разрушением крупных зерен фазы на основе дисилицида молибдена различаются отдельные участки интеркристаллитного разрушения фазы на основе диборида титана (рис. 2, *б*).

Предел прочности этого материала при трёхточечном изгибе  $\sigma_{\text{изг}}$ , измеренный на образце с размерами 1x3x25 мм, составляет порядка 200 МПа. Критический коэффициент интенсивности напряжений (трещиностойкость) при плоской деформации образцов с размерами 2,5x5x25 мм с надрезом по центру образца глубиной 1,7 мм составляет порядка  $4 \text{ MPa} \cdot \text{m}^{1/2}$ , что выше соответствующего  $K_{Ic}$  дисилицида молибдена ( $-2,8 \text{ MPa} \cdot \text{m}^{1/2}$  [14]) и совпадает с данными измерений для композиции этого состава, полученными ранее [8]. В табл. 1 приведены значения микротвердости и трещиностойкости исследованных композиционных материалов.

Необходимо отметить, что в работе [15] для образца, содержащего 77,4% (мас.) Mo и 22,6% (мас.) Si, приведено значение трещиностойкости 2,7—5,9  $\text{MPa} \cdot \text{m}^{1/2}$ . Повышенное значение трещиностойкости, вероятно,

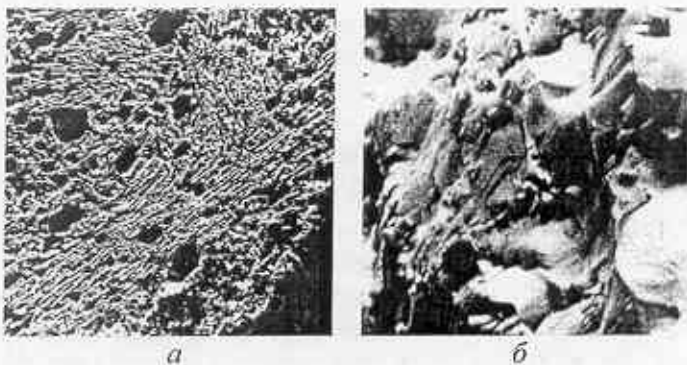


Рис. 2. Микроструктура (*а*, x60) и характер поверхности разрушения (*б*, x470) композиционного материала  $\text{MoSi}_2-\text{TiB}_2$ , содержащего 20% (об.)  $\text{TiB}_2$ .

**Т а б л и ц а 1. Прочностные характеристики дисилицида молибдена и композиционных материалов на его основе**

Материал	Содержание второй фазы, % (об.)	Микротвердость (ГПа) отдельных фаз при $P = 10,3$ Н			Трещиностойкость $K_{Ic}$ , МПа·м $^{1/2}$
		MoSi <sub>2</sub>	Вторая фаза	Эвтектика	
MoSi <sub>2</sub>	—	12,6	—	—	2,73
MoSi <sub>2</sub> —TiB <sub>2</sub>	20,0	—	—	—	4,0
MoSi <sub>2</sub> —ZrB <sub>2</sub>	12,5	—	23,3	10,5	6,1
MoSi <sub>2</sub> —Mo <sub>2</sub> B <sub>5</sub>	16,3	15,1	28,4	12,9	3,5
MoSi <sub>2</sub> —SiC	10,0	14,8	32,6	—	—
MoSi <sub>2</sub> —B <sub>4</sub> C	13,5	15,2	B <sub>4</sub> C—39,0 B <sub>4</sub> Si—10,5	—	—

можно объяснить тем, что, согласно диаграмме Mo—Si [16], структура материала такого состава должна содержать 2 фазы: Mo<sub>5</sub>Si<sub>3</sub> и MoSi<sub>2</sub>.

Исследование композиционных материалов MoSi<sub>2</sub>—TiB<sub>2</sub> и MoSi<sub>2</sub>—ZrB<sub>2</sub> при высокотемпературном (1500 °C) окислении проводили на воздухе, нагрев в течение 82 ч осуществляли прямым пропусканием тока с целью создания условий, максимально приближенных к условиям эксплуатации нагревательных элементов. Показано, что композиционные материалы на основе дисилицида молибдена имеют существенно более высокую стойкость к окислению, чем горячепрессованный дисилицид молибдена, испытанный в аналогичных условиях [12]. Сравнительные результаты приведены в табл. 2.

Относительное уменьшение массы  $\delta_m$  определяли по формуле  $\delta_m = (m_0 - m)/m_0 \cdot 100\%$ , где  $m_0$  — исходная масса до окисления, г;  $m$  — масса после окисления, г. Удельное изменение массы  $\Delta m$  рассчитывали по уравнению  $\Delta m = (m_0 - m)/(S \tau)$ , где  $S$  — площадь окисленной поверхности, см<sup>2</sup>;  $\tau$  — время окисления, ч.

Исследовали микроструктуру композиционного материала на основе дисилицида молибдена, армирующей фазой в котором служил диборид циркония. Известно, что дибориды переходных металлов IV и V подгрупп периодической системы элементов имеют структуру типа AlB<sub>2</sub>, в которой вдоль оси Z поочередно расположены плоские гексагональные сетки атомов металла и бора [17]. При свободном росте кристаллов диборидов формируются гексагональные пластинки или вытянутые вдоль гексагональной оси призмы [18].

Дисилицидные фазы, как известно [19], также кристаллизуются в виде вытянутых призм или игл. В связи с этим в процессе совместной кристаллизации дисилицида и диборида возможно образование армированного материала с повышенной прочностью.

При исследовании полученных направленной кристаллизацией композиций с содержанием диборидной фазы, близкой к точке эвтектики, установлено, что в этом случае формируется однородная гетерогенная структура, в которой крупные зерна дисилицида молибдена пронизаны пластинками или иглами диборида циркония (рис. 3, а). При измерении микротвердости этого композиционного материала (ПМТ-3) даже при

Таблица 2. Результаты испытаний на окалиностойкость при 1500 °C MoSi<sub>2</sub> и композиционных материалов на его основе

Материал	Армирующий компонент	Время испытаний, ч	Относительное уменьшение массы $\delta_m$ , %	Удельное изменение массы $\Delta m$ , г/см <sup>2</sup> ·ч
Индивидуальный MoSi <sub>2</sub>	—	4—4,5	2—5	$\sim 0,3 \cdot 10^{-3}$
Зонноглавленая композиция	TiB <sub>2</sub>	82	0,70	$\sim 10^{-5}$
	ZrB <sub>2</sub>	82	0,65	$\sim 10^{-5}$

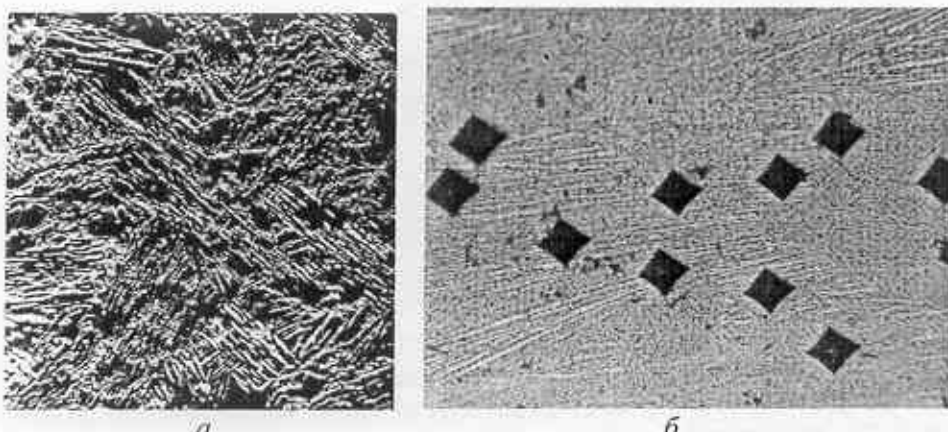


Рис. 3. Микроструктура направленно закристаллизованного композиционного материала MoSi<sub>2</sub>—ZrB<sub>2</sub>, содержащего 12,5% (об.) ZrB<sub>2</sub> (а,  $\times 115$ ), и фотография отпечатков алмазной пирамиды на участке с эвтектической структурой (б).

нагрузке 10,3 Н у отпечатков пирамиды не обнаружено появления трещин (рис. 3, б), что свидетельствует о значительном повышении его прочностных характеристик.

Как следует из данных табл. 1 и 2, композиционный материал MoSi<sub>2</sub>—ZrB<sub>2</sub> обладает высокими прочностными характеристиками и окалиностойкостью, что делает его перспективным для использования при высоких температурах.

В системе MoSi<sub>2</sub>—Mo<sub>2</sub>B<sub>5</sub> образуется эвтектика пластинчатого типа (рис. 4, а, в). Съемка образца в характеристическом излучении кремния (рис. 4, б) позволяет утверждать, что матричной фазой в этом сплаве является дисилицид молибдена. Рентгеновский фазовый анализ (HZG-4A) полученного материала зафиксировал наличие только двух фаз: MoSi<sub>2</sub> и Mo<sub>2</sub>B<sub>5</sub>.

Следует отметить, что при внедрении пирамиды в композиционный материал MoSi<sub>2</sub>—Mo<sub>2</sub>B<sub>5</sub> при нагрузке 10,3 Н на участке эвтектической структуры отпечаток не имеет радиальных трещин. Это свидетельствует о высокой трещиностойкости материала (рис. 5, а). Необходимо отметить, что все отпечатки индентора на образце дисилицида молибдена даже при нагрузке 1,96 Н сопровождаются появлением радиальных трещин (рис. 5, б).

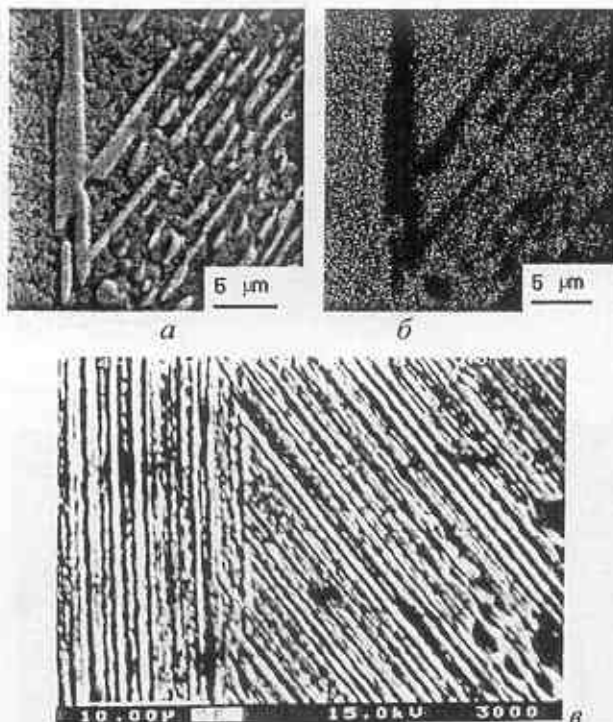


Рис. 4. Микроструктура композиционных материалов  $\text{MoSi}_2-\text{Mo}_2\text{B}_5$ , полученных направленной кристаллизацией: *а* — содержащего 16,3% (об.)  $\text{Mo}_2\text{B}_5$ ; *б* — тот же участок структуры, снятый в характеристическом излучении кремния; *в* — содержащего 80% (об.)  $\text{Mo}_2\text{B}_5$ .

Исследование композиционных материалов на основе дисилицида молибдена с использованием в качестве упрочняющего материала карбида бора показало, что в этом случае структура характеризуется присутствием трех фаз: дисилицида молибдена, карбида бора и третьей фазы, по всей вероятности, отвечающей составу  $\text{B}_4\text{Si}$  (рис. 6, *а*).

Необходимо отметить, что, согласно данным работы [17], сплавы системы  $\text{B}-\text{Si}$  обладают высоким сопротивлением тепловым ударам, однако их получение затруднено в связи с высокой упругостью паров кремния. Снижение температуры плавления может быть обеспечено за счет использования сплавов, близких по составу к тройной эвтектике ( $\text{MoSi}_2-\text{B}_4\text{C}-\text{B}_4\text{Si}$ ), что, вероятно, позволит избежать разложения отдельных компонентов.

Микротвердость фазы на основе дисилицида молибдена, сформировавшейся при направленной кристаллизации данного композита, оказалась более высокой (15,2 ГПа), чем у индивидуального  $\text{MoSi}_2$  (12,6 ГПа) (табл. 1). Это свидетельствует о ее упрочнении, что, в свою очередь, приводит к повышению прочностных свойств материала в целом.

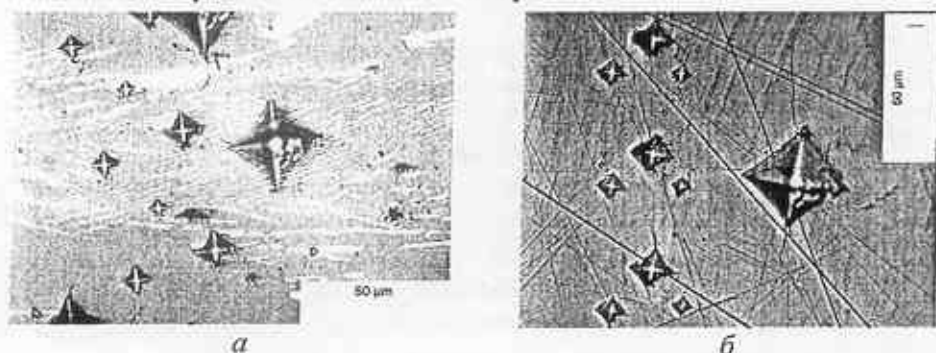


Рис. 5. Отпечатки алмазной пирамиды на композиционном материале  $\text{MoSi}-\text{Mo}_2\text{B}_5$  (*а*) и на индивидуальном дисилициде молибдена (*б*), полученные в процессе индентирования при нагрузках 0,98, 1,96 и 10,3 Н.



a



б

Рис. 6. Микроструктура композиционных материалов  $\text{MoSi}_2$ —13,5% (об.)  $\text{B}_4\text{C}$  (а) и  $\text{MoSi}_2$ —20% (об.)  $\text{SiC}$  (б).

При исследовании композиционного материала  $\text{MoSi}_2$ — $\text{SiC}$ , содержащего в качестве упрочняющей фазы карбид кремния, выявлено, что в этом случае формируется материал с гетерогенной структурой, причем вторая фаза кристаллизуется преимущественно в виде зерен пластинчатой формы (рис. 6, б).

В результате проведенных исследований установлена принципиальная возможность формирования методом направленной кристаллизации композиционных материалов на основе дисилицида молибдена, отличающихся более высокими эксплуатационными характеристиками по сравнению с индивидуальным дисилицидом молибдена.

1. Самсонов Г. В., Дворина Л. А., Рудь Б. М. Силициды. — М.: Металлургия, 1979. — 271 с.
2. Paderno Y., Paderno V., Filippov V. Some peculiarities of structure formation in eutectic d- and f-transition metals diboride alloys // Boron Rich Solids: AIP conf. proc. — Albuquerque: NM. — 1990. — № 231. — P. 561—569.
3. Paderno Y., Paderno V., Filippov V. Crystal chemistry of eutectic of d- and f-transition metals borides // JAP Series. — 1994. — № 10. — P. 190—193.
4. Орданьян С. С. Физико-химические принципы создания керамических композиционных материалов на основе тугоплавких соединений // Отнеупоры. — 1992. — 9—10. — С. 10—14.
5. Самсонов Г. В. Силициды и их использование в технике. — К.: АН УССР, 1959. — 204 с.
6. Paderno V., Paderno Yu., Evdokimova A. Directional crystallization of  $\text{MoSi}_2$  and some compositions based on it // J. Alloys and Comp. — 1997. — 262—263. — P. 243—47.
7. Лященко А. Б., Падерно В. Н., Филиппов В. Б., Мартыненко А. Н. Особенности структуры композиционных материалов системы  $\text{Mo}$ — $\text{Si}$ — $\text{B}$ , полученных направленной кристаллизацией // Материалы IV Междунар. конф. "Материалы и покрытия в экстремальных условиях", Ялта, 18—22 сентября 2006. — С. 187.
8. Alkin R. M. Jr. Strengthening of discontinuously reinforced  $\text{MoSi}_2$  composites at high temperatures // Mater. Science and Engineering. A. — 1992. — 155. — P. 121—133.
9. Свойства, получение и применение тугоплавких соединений: (Справ.) /Под ред. Т. Я. Косолаповой. — М.: Металлургиздат, 1986. — 928 с.
10. Падерно Ю. Б., Падерно В. Н., Филиппов В. Б. Особенности структурообразования эвтектических сплавов боридов d- и f-переходных металлов // Порошковая металлургия. — 1992. — № 8. — С. 73—80.

11. Tiwari R., Herman H. Vacuum plasma spraying of MoSi<sub>2</sub> and its composites // Mater. Science Engineering. A. — 1992. — 155. — P. 95—100.
12. Cook J., Khan A., Lee E., Mahapatra R. Oxidation of MoSi<sub>2</sub>-based composites // Ibid. — P. 183—198.
13. Richardson K. K., Freitag D. W. Mechanical properties of hot pressed SiC platelet-reinforced MoSi<sub>2</sub> // Ceram. Eng. Sci. Proc. — 1991. — 12, No. 9—10. — P. 1679—1689.
14. Umakoshi Y., Hirano T., Sakaggami T., Yamane Y. Slip system and hardness in MoSi<sub>2</sub> single crystals // Scripta Metall. — 1989. — 23. — P. 87—90.
15. MatWeb. The Online Materials Database Molybdenum Disilicide, MoSi<sub>2</sub>.
16. Binary Alloy Phase Diagrams / Ed. In Chief T. B. Massalski. — Ohio, ASM, 1986.
17. Серебрякова Т. И., Неронов И. А., Пешев П. В. Высокотемпературные бориды. — М.: Металлургия, 1991. — 269 с.
18. Higashi J., Takahashi J., Atode T. Crystal growth of borides and carbides of transition metals from molten aluminum solutions // J. Cryst. Growth. — 1976. — 33, No. 2. — P. 207—211.

## Композиційні матеріали на основі дисиліциду молібдену з підвищеною міцністю

В. М. Падерно, В. Б. Філіпов, А. Б. Лященко, С. І. Люкшина

*Встановлено, що спрямованою кристалізацією псевдобінарних композицій дисиліциду молібдену MoSi<sub>2</sub> з деякими тугоплавкими сполуками, зокрема з діборидами титану TiB<sub>2</sub>, цирконію ZrB<sub>2</sub>, боридом молібдену Mo<sub>2</sub>B<sub>5</sub>, карбідами бору B<sub>4</sub>C та кремнію SiC, можуть бути одержані композиційні матеріали з більш високими характеристиками міцності, окаліно- та термостійкостю, ніж у індивідуального дисиліциду молібдену.*

**Ключові слова:** композит, MoSi<sub>2</sub>, міцність, окиснення.

## Molibdenium disilicide based composites with improved strength (mechanical properties)

V. N. Paderno, V. B. Filipov, A. B. Liaschenko, S. I. Lukshina

*In the present work it is shown that by means of directional crystallization of molybdenum dicilicide (MoSi<sub>2</sub>) based pseudobinary compositions with some refractory compounds, in particular with titanium diboride (TiB<sub>2</sub>), zirconium diboride (ZrB<sub>2</sub>), molybdenum boride (Mo<sub>2</sub>B<sub>5</sub>), boron (B<sub>4</sub>C) and silicon carbides (SiC) it is possible to produce composite materials with improved, as compared with pure molybdenum dicilicide, mechanical properties and high-temperature properties, such as oxidation resistance and thermal resistance.*

**Keywords:** composite, MoSi<sub>2</sub>, mechanical strength, oxidation.